

$U - P$

(Kronecker-P, UP<sub>x</sub>, II-graphic)

*Ugxp*  
*1-x*

BP-499-VIII.

1987

81142x Thermodynamic properties of uranium compounds.  
IV: Low-temperature heat capacities and entropies of uranium monosulfide-uranium monophosphide solid solutions. Counsell, T. F.; Martin, J. F.; Dell, R. M.; Junkison, A. R. (Chem. Stand. Div., Nat. Phys. Lab., Teddington, Engl.). *Thermodyn. Nucl. Mater., Proc. Symp., Vienna 1967* (Pub. 1968), 385-94 (Eng). From *Nucl. Sci. Abstr.* 1968, 22(15), 31470.  
Int. At. Energy Agency: Vienna, Austria. Heat capacities were detd. at 11-320°K. of three compns. in the US-UP solid soln. range. These were nominally  $U(S_{0.75}P_{0.25})$ ,  $U(S_{0.5}P_{0.5})$ , and  $U(S_{0.25}P_{0.75})$ . All three compns. showed an anomaly in the  $C_p$  curves assocd. with magnetic ordering, the transition temps. being 165, 142, and 98°K., resp. As P is progressively substituted for S in US, the magnetic ordering temp. decreases and the entropy increment  $\Delta S_f$  becomes smaller also. From these and other expts. it is concluded that ferromagnetic interactions predominate over antiferromagnetic interactions in this system. The entropy results suggest a loss of long range order. TCNG

*C<sub>p</sub>*

*CIA - 1988 - 69 - 90*

9 Б691. Термодинамические свойства соединений урана: Часть 4. Низкотемпературные теплоемкости и энтропии твердых растворов. US—UP. Counsell J. F., Martin J. F., Dell R. M., Junkison A. R. Thermodynamic properties of uranium compounds. Part 4. Low-temperature heat capacities and entropies of US—UP solid solutions. «Thermodynam. Nucl. Mater.», 1967. Vienna, 1968, 385—394. Discuss., 394 (англ.)

1968

Измерены в области 11—320° К теплоемкости трех образцов тв. р-ров системы US—UP, состава  $US_{0,75}P_{0,25}$ ;  $US_{0,5}P_{0,5}$ ;  $UP_{0,25}P_{0,75}$ . Для всех образцов обнаружены аномалии на кривых теплоемкости, связанные с магнитным упорядочением, при т-рах 165, 142 и 98° К соответственно. При все большем замещении S на P в US т-ра и  $\Delta S$  магнитного упорядочения уменьшаются. Сделан вывод, что в этой системе ферромагнитные взаимодействия превалируют над антиферромагнитным. Изменения энтропии указывают на потерю дальнего порядка.

Часть 3 см. РЖХим, 1968, 7Б667.

Резюме

US Ry

60

11-320

US-UP

-

UP

Х. 1969. 9

$U_3 - USe, UAs = US(T_N, T_c, T_D)$  19%

VIII 4945

VII 49

Trzebiatowski W., Palewski T.

Bull. Acad. Pol. Sci., Ser. Sci.  
Chim., 1971, 19, № 2, 83-9 (same)

Magnetic properties of uranium  
phosphide - uranium selenide  
and uranium arsenide - ura-  
nium sulfide. solid solution

6 ⑩

8 CA, 1971, 75, N6, 42370

UPTe

БР - 5889-VIII

1973

5 Б617. Магнитные свойства UPTe. Zygmunt A.,  
Czopnik A. Magnetic properties of the compound UPTe.

«Phys. status solidi (a)», 1973, 18, № 2, 731—734  
(англ.; рез. рус.)

Получено новое соединение состава UPTe, принадлежащее к группе соединений типа UX<sub>Y</sub> (Y — халькоген, X — элемент V группы обладает крист. структурой типа UGeTe (пространственная группа 14/mmm). Проведенные на монокрист. и порошковых образцах магн. исследования в области т-р 4,2 до 1000° К показали, что это соединение является одноосным ферромагнетиком с т-рой Кюри равной 85° К. В исследованной парамагнитной области зависимость  $\chi g^{-1} = f(T)$  отклоняется от закона Кюри—Вейсса.

Резюме

X 1974 IV 5

1973

UPTe

BP-5829-VIII

1198041 Magnetic properties of the compound uranium phosphorus tellurium (UPTe). Zygmunt, A.; Czopnik, A. (Inst. Low-Temp. Struct. Res., Pol. Acad. Sci., Wroclaw, Pol.). *Phys. Status Solidi A* 1973, 18(2), 731-4 (Eng). A new compd. of the compn. UPTe was obtained. It is assigned the cryst. structure of the type UGeTe (space group  $14/mmm-D_{4h}^{17}$ ). Magnetic investigations performed on single-crystal and powder specimens at 4.2-1000°K show that it constitutes an uniaxial ferromagnet with a Curie temp. of 85°K. In the measured paramagnetic range the susceptibility temp. dependence  $\chi_{\text{eff}}^{-1} = f(T)$  deviates from the Curie-Weiss law; this is caused by a strong crystal field.

Curie

C.A. 1973. 79iv20

U<sub>1-x</sub>Se<sub>x</sub>

XVIII-1084

1974

~~#~~ 17900-4b On the magnetic transition in the uranium phosphide-uranium selenide system. Leciejewicz, J.; Troc, R.; Palewski, T. (Swierk Res. Establ., Inst. Nucl. Res., Otwock, Pol.). *Phys. Status Solidi B* 1974, 65(1), K57-K61 (Eng.). The magnetic structure as well as other magnetic properties and crystal structure of the U<sub>1-x</sub>Se<sub>x</sub> system were detd. At  $x = 0.05$ , it shows a type I antiferromagnetic ordering with UP moment jump transition at  $\sim 24^\circ\text{K}$  and Néel point at  $121^\circ\text{K}$ . U<sub>0.55</sub>Se<sub>0.40</sub> is a type IA antiferromagnet and persist up to the compn. U<sub>0.67</sub>Se<sub>0.33</sub> with Néel points between 90 and  $100^\circ\text{K}$ . At  $x = 0.37$ , the system is a ferromagnet with Curie points between 113 and  $120^\circ\text{K}$  for  $x$  between 0.37 and 0.40. The crystal structure, magnetic susceptibility and the change of magnetic moment with different types of magnetic ordering between  $x = 0.05$  and 0.40 are described.

(T<sub>tr</sub>)

C.A. 1974, 81 n 26

*U<sub>2</sub>N<sub>2</sub>P*

1974

86: 149693m Magnetic properties of the ternary uranium compounds of U<sub>2</sub>N<sub>2</sub>X(Y)-type. Troc, R.; Zolnierek, Z. (Inst. Low Temp. Struct. Res., Pol. Acad. Sci., Wroclaw, Pol.). *Tr. Mezhdunar. Konf. Magn.* 1973 (Pub. 1974), 6, 59-64 (Eng). "Nauka": Moscow, USSR. The magnetic properties of 7 ternary U compds.: U<sub>2</sub>N<sub>2</sub>As, U<sub>2</sub>N<sub>2</sub>P, U<sub>2</sub>N<sub>2</sub>Se, U<sub>2</sub>N<sub>2</sub>S, U<sub>2</sub>N<sub>2</sub>Sb, U<sub>2</sub>N<sub>2</sub>Bi, and U<sub>2</sub>N<sub>2</sub>Te were detd. at 4.2-1000 K. The reciprocal susceptibility results showed that all compds. have antiferromagnetic transitions. U<sub>2</sub>N<sub>2</sub>P and U<sub>2</sub>N<sub>2</sub>As show Neel temps. of 370 and 415 K, resp. The compds. U<sub>2</sub>N<sub>2</sub>Sb, U<sub>2</sub>N<sub>2</sub>Bi and U<sub>2</sub>N<sub>2</sub>Te are ferromagnetic, and the effective moments of U atoms in these compds. are caled, as 2.83, 3.00 and 2.86  $\mu$ B, resp.

*T Neel*

C.A. 1977, 86N20

$U_2N_2P$

1975

$U_2N_2S$

$U_2N_2As$

85: 103096v Crystalline field and exchange interactions in the ternary uranium compounds of the  $U_2N_2M$ -type ( $M =$  phosphorus, arsenic, sulfur, selenium). Zolnierek, Z.; Troc, R. (Inst. Low Temp. Struct. Res., Pol. Acad. Sci., Wroclaw, Pol.). *Plutonium 1975 Other Actinides, Proc. Int. Conf., 5th* 1975 (Pub. 1976), 589-96 (Eng). Edited by Blank, Hubert; Lindner, Roland. North-Holland: Amsterdam, Neth. The

(Tt2)

C.A.1976 85 n14

magnetic properties of ternary compds.  $U_2N_2P$ ,  $U_2N_2As$ ,  $U_2N_2S$  and  $U_2N_2Se$  were detd. by neutron diffraction methods. The temp. dependence of susceptibilities of polycryst. sample showed sharp antiferromagnetic transitions for  $U_2N_2P$  and  $U_2N_2As$  at 363 and 400°K, resp. Slightly diffused susceptibility peaks were found for  $U_2N_2S$  and  $U_2N_2Se$  at 231 and 243°K, resp. The magnetic structure of  $U_2N_2S$  and  $U_2N_2Se$  coincide with chem. unit cells, whereas those of  $U_2N_2P$  and  $U_2N_2As$  are twice as large as the chem. ones along the c axis. The magnetic moments of the ground doublet in these compds. are strongly anisotropic with major contributions from the z component. The change of mol. field with wavefunction is small and indicates that the crystal field interactions are much larger than the magnetic exchange interactions.

$U P_{1-x} S e_x$

1976

( $T_{tr}$ )

85: 115742r Magnetic phase diagram of uranium phosphide selenide ( $U P_{1-x} S e_x$ ). Leciejewicz, Janusz; Palewski, Tomasz; Troc, Robert (Inst. Badan Jad., Swierk, Pol.). *Pr. Nauk. Inst. Chem. Nieorg. Metal. Pierwiastkow Rzadkich Politech. Wrocław.* 1976, 28, 57-64 (Pol). Magnetic properties and neutron diffraction of mixed crystals  $U P_{1-x} S e_x$  ( $0.025 \leq x \leq 0.30$ ) were investigated in the temp. range  $4.2-300^{\circ}\text{K}$ . For  $x < 0.050$  the AFI structure was obsd. within the temp. range  $4.2^{\circ}\text{K} - T_N$ , where  $T_N$  is the Neel point. The compns.  $0.050 < x < 0.30$  exhibited the AFIA magnetic structure and showed a sharp change of magnetic moment at  $55 \pm 5^{\circ}\text{K}$ . Mixed crystals with  $x > 0.30$  were ferromagnetic. N. Sadlej-Sosnowska

C. A. 1976, 85, N/16.

UP<sub>i-x</sub>S<sub>x</sub>

1976

C<sub>p</sub> 80-700 K

Takahashi Y. et al.

BT T, v 19, 123  
(Yllmoseeba)

$U_2N_2P$

1976

$U_2N_2As$

$U_2N_2S$

$U_2N_2Se$

(Fez)

д. 1978

12-1

1 Б575. Кристаллическое поле и обменные взаимодействия в тройных соединениях урана типа  $U_2N_2M$  ( $M = P, As, S, Se$ ). Zolnierzek Z., Тгос R. Crystalline field and exchange interactions in the ternary uranium compounds of the  $U_2N_2M$ -type ( $M = P, As, S, Se$ ). «Plutonium 1975 and other Actinides. Proc. 5th Int. Conf., Baden Baden, 1975». Amsterdam e. a., 1976, 589—596. Discuss., 596 (англ.)

Измерена магнитная восприимчивость  $\chi$  соединений  $U_2N_2P$  (I),  $U_2N_2As$  (II),  $U_2N_2S$  (III),  $U_2N_2Se$  (IV), имеющих гексагон. структуру типа  $Ce_2O_2S$  (ф. гр.  $P\bar{3}m1$ ), при т-рах 4—1000° К. Подтверждено, что I—IV являются антиферромагнетиками, т-ры Нееля  $T_N$  к-рых равны соотв. 363, 400, 231 и 243° К. Выше  $T_N$  зависимость  $\chi(I)$  описывается законом  $1/\chi = (A/T + B)^{-1} \pm \lambda$ , где константы  $A$ ,  $B$  и  $\lambda$  определены по эксперим. дан-

ным с помощью метода наименьших квадратов. На основе анализа возможных статич. волн намагниченности в решетке I—IV в рамках теории Берто предложены возможные варианты магнитной структуры этих соединений. Для выяснения природы магнитного взаимодействия проведены расчеты параметров Пт крист. поля и показано, что модель точечных зарядов не позволяет удовлетворительно описать магнитное поведение I—IV. Это обстоятельство согласуется с их металлич. природой. На основе полученных данных по магнитным св-вам и нейтронографич. данных по спиновым конфигурациям определен характер расщепления основного состояния яонов U<sub>b</sub> крист. поле. С. Ш. Ш.

и, п  
ител

$UP_{1-x}S_x$

( $C_p$ )

XV/111-72413

2 E332. Калориметрическое исследование электронной структуры в системе UP-US. Calorimetric study on the electronic structure in UP-US system. Yokokawa /g/ 19/5

Нагуми, Takahashi Yoichi. «J. Phys. and Chem. Solids», 1979, 40, № 8, 603—612 (англ.)

С использованием импульсного лазерного калориметра получены данные о теплоемкости сплавов системы  $UP_{1-x}S_x$  ( $x=0,0; 0,1; 0,2; 0,4; 0,6; 0,8$  и  $1,0$ ) в интервале температур  $80$ — $670^\circ\text{K}$ . Для многих образцов ниже  $300^\circ\text{K}$  обнаружены  $\lambda$ -пики, связанные с магнитными фазовыми переходами. Обсуждаются электронный, решеточный и магн. вклады в теплоемкость. Приведена магнитная фазовая диаграмма данной системы. Обсуждается связь зонной структуры и магн. состояния, роль  $5f$ -электронов. Библ. 48.

В. Е. Зиновьев

отт. 8379

9.1980, N2

$UP_{1-x}S_x$

( $C_p$ )

XVIII-724/3

д-1949/124

124 Б751. Калориметрическое исследование электронной структуры системы UP-US. Yokokawa Nagomi, Takahashi Yoichi. Calorimetric study on the electronic structure in UP-US system. «J. Phys. and Chem. Solids», 1979, 40, № 8, 603—612 (англ.)

В интервале т-р 80—670 К в калориметре с импульсным лазерным нагревателем измерены теплоемкости  $UP_{1-x}S_x$ , где  $x=0,0, 0,1, 0,2, 0,4, 0,6, 0,8$  и  $1,0$  (I—VII соотв.). Значения  $C_p$  табулированы с шагом  $10^\circ$  (80—300 К) и  $50^\circ$  (300—650 К), при  $298,15$  К они равны  $50,09, 50,08, 50,35, 50,02, 49,01, 49,86$  и  $50,01$  дж/моль·град для I—VII соотв. Тривая зависимость  $C_p$  монофосфида I имела резкий пик, отвечающий антиферромагнитному переходу при  $120,8 \pm 0,2$  К. У моносульфида VII λ-образная аномалия, связанная с ферромагнитным упорядочением, наблюдалась при  $180 \pm 0,5$  К. Для промежут. составов II—VI т-ры переходов составили соотв.  $95,6, 84,2, 131, 156$  и  $170$  К. Построена магнитная фазовая диаграмма системы, на к-рой ферромагнитная область разделяется на две фазы, различающиеся направлением магнитных моментов. На границе этих фаз находится состав IV с дополнительной т-рой перехода при  $86$  К, характеризующейся небольшой аномалией  $C_p$ . В парамагнитной области выше  $220$  К теплоемкости I—VII монотонно возрастают с т-рой и представлены

ур-ниями вида  $C_p = 6R + AT - B/T^2$ , коэф. к-рых  $A$  и  $B$  составили: I 10,0 и 248, II 10,9 и 267, III 11,6 и 270, IV 10,9 и 279, V 7,5 и 279, VI 10,8 и 285, VII 10,7 и 271. Проанализированы решеточный, электронный и магнитный вклады в  $C_p$  I—VII. Обсуждена электронная структура зоны проводимости и установлена ее тесная корреляция с магнитным упорядочением, характеризующимся направлением магнитных моментов.

А. Б. Кисилевский



$UP_{1-x}S_x$

$$\lambda = 0 \div 1$$

$C_p; T_{\text{c}}$

XVIII-7243

1979

92: 29492x Calorimetric study on the electronic structure in uranium monophosphide-uranium monosulfide system. Yokokawa, Harumi; Takahashi, Yoichi (Natl. Chem. Lab. Ind., Tokyo, Japan 2-19-19). *J. Phys. Chem. Solids* 1979, 40(8), 603-12 (Eng). An anomaly, corresponding to the magnetic transition, was obsd. in the heat capacity of  $UP_{1-x}S_x$  ( $x = 0-1$ ) detd. at 80-670 K using laser-flash calorimetry. The magnetic transition temps. ( $T_c$ ) obtained agree with literature values. An

addnl. small peak was obsd. at 86 K below  $T_c$  for  $UP_{0.4}S_{0.6}$ . The ferromagnetically ordered state of US-rich compds. was shown to consist of 2 phases detd. by the direction of the moments. Above 250 K, the heat capacity increases monotonically with temp. and obeys the form  $C_p = 6R + AT - BT^{-2}$ . A correlation between the conduction band structure, derived from the high-temp. linear terms, and the magnetic ordering was discussed.



CMW. 8249

C.A. 1980. 92, NY

$UP_{1-x}Se_x$

Омск 14756

1980

7 Б1056. Магнитная фазовая диаграмма системы UP—USe. Troc R., Leciejewicz J., Lander G. H. The magnetic phase diagram of the UP—USe system. «J. Magn. and Magn. Mater.», 1980, 21, № 2, 173—181 (англ.)

В интервале т-р 4,2—300 К путем измерения магнитной восприимчивости и изучения дифракции нейтронов с длиной волны 1,324 Å изучена магнитная фазовая диаграмма тв. р-ра  $UP_{1-x}Se_x$  в области составов  $0,025 \leq x \leq 0,4$ . Поликрист. образцы приготавливали спеканием в вакууме UP и USe при  $1600^\circ$  в течение 1 ч., после чего образцы измельчали, таблетировали и отжигали. Проведены рентгеновские исследования. Установлено, что постоянные решетки подчиняются закону Вегарда. С ростом  $x$  появляется магнитно-упорядоченная фаза с большим периодом упорядочения. Магнитная структура, характерная для UP и образованная укладкой ферромагнитных прослоек + — + — (фаза I), заменяется фазой IA типа + + — —, существующей в широ-

Tr

Х. 1981/7

ком диапазоне составов. Обнаружен новый фазовый переход, происходящий при 22 К (для  $x=0$ ) и при приблизительно  $0,5T_N$  в области  $0,1 < x < 0,22$  (фаза I' и I'A). В области составов  $0,22 < x < 0,3$  существует фаза со строением + + + — — —. Период повторяемости в этой фазе составляет около 3 элементарных ячеек. При  $x > 0,3$  существует только пара- и ферромагнитная фаза. Построена магнитная фазовая диаграмма. Сделан вывод, что поведение исследованной системы напоминает магнитные св-ва систем UP-US и UAs-US.

Г. Л. Апарников

ст. а.  
олуч:  
А. Г.

*UP<sub>0,9</sub>Se<sub>0,1</sub>*

1982

24 Б1027. О природе скачкообразного перехода в системе UP—USe. Burlet P., Rossat-Mignod J., Tgoć R. On the nature of the step-like transition in the UP—USe system. «Solid State Commun.», 1982, 43, № 6, 479—481 (англ.)

Методом нейтронной дифракции на длине волны 2,4 Å исследованы фазовые превращения при низких температурах в поликрист. образцах UP<sub>0,9</sub>Se<sub>0,1</sub>, испытывающих переход из парамагнитного в ферромагнитное состояние при  $T=98\pm 2$  К и 2-ой переход при  $T_0=58\pm 2$  К, сопровождающийся резким уменьшением магнитной восприимчивости и ростом интенсивности пиков магнитной сверхрешетки. Сделан вывод, что переход при  $T_0$  не является превращением типа соразмерный—несоразмерный. При переходе происходит изменение коллинеарной структуры волновых векторов в неколлинеарную структуру с удвоенными волновыми векторами. Природа превращения аналогична природе переходов в UP.

Г. Л. Апарников

*T<sub>2</sub>*

X. 1982, 19, N 24

1983

UP-USe

тл-р-лк

UP<sub>1-x</sub>Se<sub>x</sub> $x=0,05; 0,1; 0,18;$   
 $0,27 \text{ и } 0,3$ Cp

3 E317. Теплоемкость твердых растворов UP-USe. Heat capacity of UP-USe solid solutions. Blaise A., Gordon J. E., Lagnier R., Mortimer M., Tros R. «J. Magn. and Magn. Mater.», 1983, 38, № 2, 109—122 (англ.)

Исследованы теплоемкости твердых растворов  $UP_{1-x}Se_x$  для  $x=0,05; 0,1; 0,18; 0,27$  и  $0,3$  в интервале  $T$ -р 5—300 К. На температурных зависимостях теплоемкости наблюдаются  $\lambda$ -аномалии, связанные с магн. переходами, число которых для сплава с  $x=0,05$  равно четырем, для  $x=0,1$  и  $0,18$  — двум, а для остальных составов аномалии становятся плохо выраженнымми. При  $T$ -ре Дебая, близкой к 230 К, наблюдается рост коэф. электронной теплоемкости, при  $T=0$  К изменяющейся от 9,6 млДж/моль·К<sup>2</sup> для  $x=0$  до 74,2 млДж/моль·К<sup>2</sup> для  $x=0,3$ . При этом этот коэф. уменьшается в ~3 раза при  $T=300$  К. Анализируются вклады в теплоемкость и приведены данные для магн. энтропии. Библ. 24.

В. Е. Зиновьев

c/o. 1984, 18, n. 3

1983

 $UP_{1-x}Se_x$  $x=0,05; 0,18; 0,27;$   
 $0,3$  $S, H_T - H_0,$   
 $\beta_T - H_0/T;$ 

5 Б3013. Теплоемкость твердых растворов UP—USe.  
 Heat capacity of UP—USe solid solutions. Blaise A.,  
 Gordon J. E., Lagnier R., Mortimer M.,  
 Тгос R. «J. Magn. and Magn. Mater.», 1983, 38, № 2,  
 109—122 (англ.)

Теплоемкость тв. р-ров  $UP_{1-x}Se_x$  ( $x=0,05; 0,18; 0,27;$   
 $0,3$ ) измерена в адиабатич. калориметре в интервале  
 5—300 К, а состава с  $x=0,1$  в интервале 1,6—300 К.  
 Обнаружены аномалии  $C_p$ , отражающие магнитные пре-  
 вращения. Для состава с  $x=0,05$  установлено антифер-  
 ромагнитное упорядочение при т-ре Нееля 115 К и при  
 38,5 К. Аномалия  $C_p$  при 30,7 К связана с наличием  
 примеси  $UO_2$ , т. к. эта т-ра согласуется с т-рой Нееля  
 для  $UO_2$ . Обнаружена  $\lambda$ -аномалия  $C_p$  при 22,85 . К,  
 к-рая связана с магнитным превращением, не проявля-  
 ющимся в нейтронографич. исследовании.  $C_p$  состава с  
 $x=0,1$  имеет аномалии при 98,3; 58,6 К, а также при  
 30,2 К (примесь  $UO_2$ ) и при 22,65 К — т-ре, близкой к  
 т-ре превращения UP, что рассматривается как доказа-  
 тельство существования кластеров UP.  $C_p$  состава с  $x=$

X. 1984, 19, N 5

$x=0,18$  имеет аномалии при 97 и 62 К. Небольшие аномалии  $C_p$  для р-ров с  $x=0,27$  и 0,3 при 103,5 и 112,0 К также связаны с антиферромагнитным упорядочением. Проведен теор. анализ различных вкладов в  $C_p$ ,  $S$  магн. всех пяти составов около 10 Дж/моль К при 300 К. Термодинамич. ф-ции  $C_p$  (Дж/моль·К),  $S$  (Дж/моль·К),  $(H_t - H_0)$  (Дж/моль) и  $-(G_t - H_0)/T$  (Дж/моль·К) табулированы с шагом в 5 К в интервале 0—50 К и с шагом в 10 К выше 50 К и составляют при 300 К 51,62; 80,27; 11064,6 и 43,38 для  $x=0,05$ ; 51,65; 81,25; 11143,2 и 44,10 для  $x=0,1$ ; 52,00; 81,13; 11311,5 и 43,43 для  $x=0,18$ ; 51,56; 83,03; 11233,2 и 45,59 для  $x=0,27$ ; 50,35; 80,31; 10975,5 и 43,72 для  $x=0,30$ . В целом  $C_p$  —  $T$ -данные согласуются с магнитной фазовой диаграммой системы USe — UP.

Л. А. Резницкий

$U_{P_{1-x}Se_x}$

1983

(P)

' 99: 219804t Heat capacity of uranium phosphide-uranium selenide solid solutions. Blaise, A.; Gordon, J. E.; Lagnier, R.; Mortimer, M.; Troc, R. (Cent. Et. Nucl. Grenoble, 38041 Grenoble, Fr.). *J. Magn. Magn. Mater.* 1983, 38(2), 109-22 (Eng). The heat capacities of  $UP_{1-x}Se_x$  for  $x = 0.05, 0.1, 0.18, 0.27$  and  $0.3$  were measured at 5-300 K. The 1st 3 of these solid solns. show pronounced sp. heat anomalies at the para-antiferromagnetic phase transition, whereas the comparable anomalies for the  $x = 0.27$  and  $x = 0.3$  are small, a fact which probably reflects the competing tendencies toward antiferromagnetic and ferromagnetic ordering in these materials. All 5 compds. have a linear sp. heat coeff. at high temps.,  $\gamma(300)$ , which is much smaller than at low temps.,  $\gamma(0)$ . A possible explanation for this difference is that below the ordering temp. there is a magnetic contribution to  $\gamma(0)$ , which arises from magnetic moments which are only partially aligned in magnetic fields far smaller than those which characterize the ordered phase. The magnetic entropies of the 5 compds. are estd. to be  $\sim 10$  J/mol.K at room temp.

c.A.1983, 99, N 26

$\text{P}^{+}\text{Cl}_4 \cdot \text{UCl}_6^-$

1983

16 Б356. Кристаллическая и молекулярная структура гексахлороураната(5+) тетрахлорофосфора(5+). Crystal and molecular structure of tetrachlorophosphorus(V) hexachlorouranate(V). Taylor J. C., Waugh A. B. «Polyhedron», 1983, 2, № 3, 211—216 (англ.)

Проведено рентгеноструктурное исследование  $\text{PCl}_4^+ \cdot \text{UCl}_6^-$  ( $\lambda \text{Ag}$ , 2492 отражения, анизотропный МНК до  $R = 0,146$ ). Кристаллы трикл.,  $a = 7,038$ ;  $b = 7,373$ ,  $c = 13,706\text{\AA}$ ,  $\alpha = 89,38^\circ$ ,  $\beta = 88,80^\circ$ ,  $\gamma = 105,20^\circ$ ,  $\rho$  (изм.) = 3,02,  $Z = 2$ , пр. гр.  $P1$ . Структура представляет собой гексагон. плотнейшую упаковку ионов  $\text{Cl}^-$  с ионами  $\text{P}^{5+}$  и  $\text{U}^{5+}$  в тетраэдрич. и октаэдрич. пустотах соотв. Расстояния  $\text{U}-\text{Cl}$  (2,475—2,517 $\text{\AA}$ ) и  $\text{P}-\text{Cl}$  (1,886—1,930 $\text{\AA}$ ) длиннее сумм ионных радиусов (2,57 и 2,12 $\text{\AA}$  соотв.), т. е. выделяются ионы  $\text{UCl}_6^-$  и  $\text{PCl}_4^+$ .

А. И. Гусев

Кристал-  
и молекул-  
структур

X. 1983, 19, N 16

$UP_{0,5}As_{0,5}$

1985

Blaise A., Zagrier R.,  
et al.

$C_p$ ; J. Low Temp. Phys.,  
1985, 61, N 5-6, 323-335.



(csl. ThP; 1)

UP<sub>0,75</sub>S<sub>0,25</sub> 15 Б3143. Исследование на монокристаллах магнитной фазовой диаграммы системы UP-US. Single crystal investigation of the magnetic phase diagram of UP-US. Kuznetz M., Burlet P., Rossat-Mignod J., Vogt O. «J. Magn. and Magn. Mater.», 1987, 63–64, 165–168 (англ.)

UP<sub>0,50</sub>S<sub>0,20</sub>  
U<sub>4</sub>P<sub>5</sub>S  
U<sub>5</sub>P<sub>4</sub>S

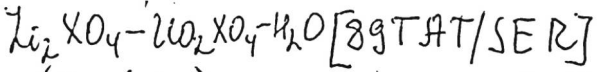
T<sub>C1</sub>

X.1987, 19,  
N 15

В диапазоне т-р 7–120 К с помощью нейтронографии исследованы магн. фазовые диаграммы двух монокристаллов  $UP_{0,75}S_{0,25}$  (I) и  $UP_{0,50}S_{0,20}$  (II). В II ферромагн. упорядочение наблюдается при  $T_N=90$  К с несопоставимой фазой ( $k$  от 0,388 до 0,392). При  $T_1=$

=84 К вследствие фазового перехода 1-го рода появляется др. несопоставимая фаза ( $k$  от 0,345 до 0,362). При  $T_{JC}=78$  К возникает сопоставимая фаза с  $k=1/3$ , а при  $T_0=42$  К появляется сопоставимая фаза типа-I (2+, 2-). В I наблюдается 3 сорта магн. поведения: а) ферромагн. фаза ниже  $T_C=104$  К, от 75 до 25 К сопоставимая фаза (5+, 4-), и ниже 25 К фаза типа-IA (2+, 2-), б) от  $T_C=105$  до 50 К ферромагн. фаза, ниже фаза (5+, 5-) и в) ниже  $T_C=107$  К только ферромагн. фаза. С привлечением лит. данных построена фазовая диаграмма системы  $UP_{1-x}S_x$  для  $0 \leq x \leq 0,3$ .

В. А. Ступников



1989

(X=S,Se). Tatarinova E.E, Serezhkina Z.B,  
Serezhkin V.N,  
"Solubility in the  $\text{Li}_2\text{XO}_4 \cdot 2\text{WO}_2\text{XO}_4 \cdot \text{H}_2\text{O}$   
(X=S,Se) systems at 25°C.

Zh. Neorg.-Khim. 1989, 34, 2157-59,  
in Russian, English translation  
in [89TAT/SER2]

$\text{Li}_2\text{XO}_4 \cdot \text{K}_2\text{XO}_4 \cdot \text{H}_2\text{O}$  [89 TAT/SER2] 1985

( $\text{X} = \text{S}, \text{Se}$ ) Tatarinova E.E., Serezhkin L.I.,

Serezhkin V.N., Solubility in the

$\text{Li}_2\text{XO}_4 \cdot \text{K}_2\text{XO}_4 \cdot \text{H}_2\text{O}$  ( $\text{X} = \text{S}, \text{Se}$ )

systems at 25°C.

Russ. J. Inorg. Chem. 1989, 34, 1227-28.

UO<sub>2</sub>(PO<sub>2</sub>F<sub>2</sub>)<sub>2</sub>      От 34225 1990  
UO<sub>2</sub>(PO<sub>2</sub>F<sub>2</sub>)F  
UO<sub>2</sub>PO<sub>3</sub>F  
(ΔHf)  
22 Б3053. Термодинамические свойства фторфосфатов уранила / Петров В. Г., Селезнев В. П., Губочкин Б. А. // Ж. физ. химии.— 1990.— 64, № 7.— С. 1982—1984.— Рус.  
Методами тензиметрии изучены р-ции разложения ди- и монофторфосфата уранила. В системе UO<sub>2</sub>F<sub>2</sub>—UO<sub>2</sub>(PO<sub>2</sub>F<sub>2</sub>)<sub>2</sub> (I) установлено образование соединения, к-рому приписана формула UO<sub>2</sub>(PO<sub>2</sub>F<sub>2</sub>)F. Определены термодинамич. х-ки р-ций разложения ди- и монофторфосфата уранила в соответствии со II и III з-нами термодинамики. На основании этих данных оценены энтальпии образования —Δ<sub>f</sub>H° (298 К) соединений I, UO<sub>2</sub>·(PO<sub>2</sub>F<sub>2</sub>)F, UO<sub>2</sub>PO<sub>3</sub>F, равные соотв. 3656,3±9,3; 2649,2±4,8 и 2312,1±5,6 кДж/моль (II з-н); 3654,0±17,6; 2648,1±11,3 и 2314±11,6 кДж/моль (III з-н термодинамики).  
По резюме

X. 1990, N 22

$\text{HAsUO}_6$

1994

Karyakin N. V.,  
Chernorukov G. N., et al.

$\Delta_f H_{298}$ ,  
 $\Delta_f G, S_{298}$

Zh. Obshch. Khim. 1994,  
64(7), 1082-4.

(see  $\text{HPUO}_6$ ; I)